

- tenuates expression of Notch signaling and proinflammatory mediators in activated microglia in experimentally induced cerebral ischemia and hypoxic BV-2 microglia [J]. *BMC Neurosci*, 2017, 18(1): 32.
- [17] Shahin S, Banerjee S, Singh S P, et al. 2.45 GHz microwave radiation impairs learning and spatial memory via oxidative/nitrosative stress induced p53-dependent/independent hippocampal apoptosis: molecular basis and underlying mechanism [J]. *Toxicol Sci*, 2015, 148(2): 380-399.
- [18] Chtourou Y, Aouey B, Kebieche M, et al. Protective role of naringin against cisplatin induced oxidative stress, inflammatory response and apoptosis in rat striatum via suppressing ROS-me-
- diated NF- κ B and p53 signaling pathways [J]. *Chem Biol Interact*, 2015, 239: 76-86.
- [19] Khan M M, Ishrat T, Ahmad A, et al. Sesamin attenuates behavioral, biochemical and histological alterations induced by reversible middle cerebral artery occlusion in the rats [J]. *Chem Biol Interact*, 2010, 183(1): 255-263.
- [20] Ji X, Luo Y, Ling F, et al. Mild hypothermia diminishes oxidative DNA damage and pro-death signaling events after cerebral ischemia: a mechanism for neuroprotection [J]. *Front Biosci*, 2007, 12: 1734-1747.
- [21] 曾南, 周玖瑶. 药理学[M]. 北京: 中国医药科技出版社, 2014: 70.

葛根素对高糖诱导 HUVEC-12 细胞氧化损伤的保护作用

张婷¹, 张慧², 宋小峰¹, 石晓卫^{1*}

(1. 新乡医学院三全学院, 河南新乡 453000; 2. 新乡医学院药学院, 河南新乡 453000)

摘要: 目的 研究葛根素对高糖诱导人脐静脉内皮细胞 HUVEC-12 氧化损伤的保护作用。方法 用含 100 mmol/L 葡萄糖和 10、25、50 μ mol/L 葛根素的培养基共同孵育 HUVEC-12 细胞 36 h 后, 测定细胞存活率, 细胞培养液中乳酸脱氢酶 (LDH) 水平及半胱氨酸天冬氨酸蛋白酶-3 (Caspase-3) 活性, 细胞内活性氧 (ROS) 水平及超氧化物歧化酶 (SOD)、过氧化氢酶 (CAT) 活性及丙二醛 (MDA)、还原型谷胱甘肽 (GSH) 水平。qPCR 检测细胞中 SIRT1、PGC-1 α mRNA 表达, 酶联免疫吸附法检测培养液中 SIRT1、PGC-1 α 蛋白含有量。结果 葛根素可增加 HUVEC-12 细胞存活率, 抑制细胞 LDH 释放, 清除 ROS, 降低 MDA 含有量与 Caspase-3 活性, 增加 SOD、CAT 活性和 GSH 含有量。同时, 葛根素还能提高 SIRT1、PGC-1 α mRNA 表达及蛋白含有量。结论 葛根素能通过激活 SIRT1/PGC-1 α 通路来保护高糖诱导 HUVEC-12 细胞氧化损伤。

关键词: 葛根素; 高糖; 氧化损伤; HUVEC-12 细胞; SIRT1/PGC-1 α 信号通路

中图分类号: R285.5

文献标志码: A

文章编号: 1001-1528(2018)06-1248-05

doi:10.3969/j.issn.1001-1528.2018.06.004

Protective effects of puerarin on high glucose-induced oxidative injury in HUVEC-12 cells

ZHANG Ting¹, ZHANG Hui², SONG Xiao-feng¹, SHI Xiao-wei^{1*}

(1. Sanquan Medical College, Xinxiang Medical University, Xinxiang 453000, China; 2. College of Pharmacy, Xinxiang Medical University, Xinxiang 453000, China)

ABSTRACT: AIM To explore the action mechanism of puerarin's protective effects against oxidative stress of HUVEC-12 cells induced by high glucose. **METHODS** HUVEC-12 cells cultured with 100 mmol/L glucose medium and 10, 25, 50 μ mol/L puerarin for 36 h had the cell proliferation, the levels of lactate dehydrogenase (LDH), intracellular reactive oxygen species (ROS), the activities of caspase-3, superoxide dismutase (SOD) and catalase (CAT), and the contents of malondialdehyde (MDA) and glutathione (GSH) measured. The mRNA

收稿日期: 2017-07-03

基金项目: 国家自然科学基金项目 (U1604179); 2016 年度河南省高等学校青年骨干教师培养计划支持项目 (2016GGJS-220)

作者简介: 张婷 (1986—), 女, 硕士, 讲师, 从事中药活性成分及药效学研究。E-mail: edward1986@163.com

*通信作者: 石晓卫 (1982—), 男, 硕士, 副教授, 从事细胞分子生物学研究。Tel: (0373) 7375205, E-mail: teger377@163.com

expressions of SIRT1 and PGC-1 α were detected by real-time fluorescence quantitative PCR, and the protein contents of SIRT1 and PGC-1 α were determined by enzyme-linked immunosorbent assay. **RESULTS** The puerarin treatment to HUVEC-12 cells resulted in markedly lowered LDH level, caspase-3 activity, intracellular levels of MDA and ROS, and notable improvement of the cell viability, the activities of SOD and CAT, GSH content, the mRNA expressions and the protein contents of SIRT1 and PGC-1 α as well. **CONCLUSION** The protective effect of puerarin on high glucose-induced oxidative damage of HUVEC-12 cells may be attributed to the SIRT1/PGC-1 α pathway activation.

KEY WORDS: puerarin; high glucose; oxidative injury; HUVEC-12 cells; SIRT1/PGC-1 α pathway

2013年,全球患糖尿病人数已达3.82亿,并且发病率逐年增加。糖尿病会使多种大血管疾病的发病风险增高,65%患者死于其合并症^[1],其中动脉粥样硬化是引起糖尿病大血管合并症的常见原因,其始动环节是内皮细胞损伤^[2]。沉默信息调节因子1(SIRT1)是一种依赖于烟酰胺腺嘌呤二核苷酸(NAD⁺)的去乙酰化酶,参与细胞生存、凋亡、自噬、新陈代谢等多种细胞活动^[3-4],它可通过调控其下游过氧化物酶体增殖物激活受体 γ 辅助激活因子-1 α (PGC-1 α)基因和蛋白表达水平来发挥抑制细胞凋亡、抗氧化应激、促进血管内皮细胞增生等作用^[5]。

葛根素是野葛中的一种活性物质,具有神经保护、抗氧化、抗炎、减弱胰岛素抗性等活性,具有促进成骨生成和血管再生的作用^[6-7],对帕金森病、糖尿病和心血管疾病有很好的疗效,并可通过SIRT1/PGC-1 α 信号通路保护肾脏^[8],但该成分能否通过该信号通路保护HUVEC-12细胞氧化损伤尚不明确。因此,本实验拟通过高糖诱导HUVEC-12细胞损伤探讨葛根素对其的保护作用,并探讨该成分与SIRT1/PGC-1 α 信号通路的关系,以期为防治糖尿病大血管合并症提供可行的方法。

1 材料

HUVEC-12细胞购自中国科学院上海细胞生物研究所。葛根素(含有量>99.0%,德国Sigma公司,批号031M1302V)。MTT(德国Sigma公司,批号MKBZ4723V);Caspase-3、ROS、LDH检测试剂盒(碧云天生物技术有限公司,批号151017、160320、150621);MDA、GSH、SOD、CAT检测试剂盒(南京建成生物技术研究所,批号20150927、20150515、20150421、20141120);引物由上海生工生物工程公司合成;总RNA提取试剂盒[天根生化科技(北京)有限公司,批号K9403];SYBR Premix Ex TaqTM、逆转录、RT-PCR试剂盒(日本Takara公司);SIRT1、PGC-1 α 酶联

免疫吸附试剂盒(上海酶联生物科技有限公司)。电子分析天平(德国Sartorius公司);酶标仪(美国赛默飞世尔科技公司);U-2001型紫外分光光度仪(日本Hitachi公司);ABI 7500 Real-Time PCR system(美国ABI公司)。

2 方法

2.1 细胞培养与分组处理 用含10%胎牛血清、 1×10^5 U/L青霉素、100 mg/L链霉素的RPMI 1640培养基于37℃、5% CO₂培养箱中培养HUVEC-12细胞,当形成致密单层细胞、基本铺满瓶底时,胰蛋白酶-EDTA消化液消化,开始传代,应用第2次传代的细胞进行分组,即正常组(无血清培养基)、高糖组(含100 mmol/L葡萄糖的无血清培养基)、药物组(含100 mmol/L葡萄糖的无血清培养基分别与10、25、50 μmol/L葛根素共同孵育),继续培养36 h后测定各项指标。

2.2 存活率测定 将HUVEC-12细胞接种于96孔培养板中,每孔加0.1 mL培养液培养24 h,待细胞贴壁后,按各组处理方法更换培养液,置于37℃、5% CO₂培养箱中继续培养36 h。然后,每孔加5 g/mL MTT 20 μL,4 h后弃去培养液,加150 μL DMSO振荡10 min使其充分溶解,酶标仪测定490 nm波长处的光密度,计算细胞存活率。

2.3 细胞内ROS水平和细胞上清液中LDH水平、Caspase-3活性检测 通过乳酸脱氢酶检测试剂盒检测细胞上清液中LDH水平。取正常组、高糖组、药物组细胞上清液各120 μL,加入到新的96孔板中,每孔中加60 μL LDH检测工作液,25℃避光孵育30 min,测定490 nm处光密度。

根据活性氧检测试剂盒说明书检测细胞内ROS水平。于37℃孵育HUVEC-12细胞(5×10^6 /mL)与DCFH-DA(10 μmol/L)探针35 min后,PBS洗去未结合的探针,进入细胞的DCFH-DA被细胞内酯酶水解为DCFH后,再被ROS氧化

为有荧光的 DCF，这可反映细胞内 ROS 水平。实验重复 3 次。

应用 Caspase-3 活性检测试剂盒检测细胞上清液中 Caspase-3 活性。分别裂解各组细胞后取上清，Bradford 法测定细胞液蛋白浓度，将其调整为 2 mg/mL，于 50 μL 待测样品中加入 2 mmol/L Caspase-3 显色底物 Ac-DEVD-pNA 10 μL，并与 40 μL 检测缓冲液混匀。37 °C 孵育 2 h 后，在 405 nm 波长处测定光密度。

2.4 细胞内 SOD、CAT 活性和 MDA、GSH 含量测定 超声破碎培养后的各组 HUVEC-12 细胞，离心取上清 200 μL，分别按 SOD、CAT、MDA、GSH 检测试剂盒说明书操作后，在 550、240、532、412 nm 波长处测定光密度。

2.5 SIRT1 和 PGC-1α 基因表达测定 RNA 提取试剂盒提取细胞内总 RNA 后，反转录试剂盒进行逆转录。以管家基因 β-actin 为内标，逆转录后的 cDNA 为模板，实时荧光定量 PCR 仪上对各基因进行 PCR 扩增。反应体系为正反向引物各 0.4 μL，2 μL cDNA，0.4 μL ROX Reference Dye (50 ×)，6.8 μL RNase-free 水，10 μL Taq MasterMix，总体积 20 μL。引物序列为 SIRT1 正向 5'-GTCTGTGC-

CTTCCAGTTGCT-3'，反向 5'-CTGCTTGCTGCCAT-ACCTG-3'；PGC-1α 正向 5'-TGGAGCAATAAGCA AAGAGC-3'，反向 5'-GTGTTAGGGAGGGTCATCGTT-3'；β-actin 正向 5'-GGAGATTACTGCCCTGGCT-CTA-反向 5'-GACTCATCGTACTCCTGCTTGCTG-3'。反应条件为 95 °C 预变性 1 min，95 °C 变性 10 s，60 °C 退火延伸 31 s，重复 35 个循环。各基因相对表达量用 $2^{-\Delta\Delta Ct}$ 表示，每个样品重复 3 次。

2.6 SIRT1、PGC-1α 蛋白含有量测定 取各组细胞上清液， $1000 \times g$ 离心 10 min 后去除沉淀，根据酶联免疫吸附试剂盒说明书测定 SIRT1、PGC-1α 蛋白含有量。

2.7 统计学处理 通过 SPSS 19.0 软件进行分析，数据以（平均数 ± 标准差）表示，组间比较采用单因素方差分析，以 $P < 0.05$ 表示差异具有统计学意义。

3 结果

3.1 葛根素对 HUVEC-12 细胞活力的影响 与正常组比较，高糖组 HUVEC-12 细胞活力明显降低 ($P < 0.01$)；药物中、高剂量组显著高于高糖组 ($P < 0.05$, $P < 0.01$)，但低剂量组作用不明显 ($P > 0.05$)。见表 1。

表 1 葛根素对 HUVEC-12 细胞活力、LDH、ROS 水平和 Caspase-3 活性的影响 ($\bar{x} \pm s$, $n=3$)

Tab. 1 Effect of puerarin on HUVEC-12 cell viability, LDH, ROS release and Caspase-3 activities ($\bar{x} \pm s$, $n=3$)

组别	剂量/ ($\mu\text{mol}\cdot\text{L}^{-1}$)	正常组占比/%	LDH/ (% 正常组)	Caspase-3/ (% 正常组)	ROS/ (% 正常组)
正常组	-	100	100	100	100
高糖组	-	49.27 ± 7.03 **	254.46 ± 25.54 **	269.46 ± 24.33 **	205.25 ± 18.14 **
药物组	10	62.78 ± 6.25	225.15 ± 21.23	205.17 ± 20.22 *	189.27 ± 19.02
药物组	25	69.54 ± 5.21 *	189.58 ± 19.15 *	178.35 ± 16.21 *	170.39 ± 18.85
药物组	50	82.32 ± 5.53 **	130.72 ± 16.42 **	140.69 ± 13.94 **	145.23 ± 15.34 *

注：与高糖组比较，* $P < 0.05$ ，** $P < 0.01$ ；与正常组比较，## $P < 0.01$

3.2 葛根素对 LDH、ROS 水平和 Caspase-3 活性的影响 高糖组 LDH、ROS 水平和 Caspase-3 活性较正常组显著升高 ($P < 0.01$)。与高糖组比较，药物中、高剂量组 LDH 水平明显降低 ($P < 0.05$)，但低剂量组作用不明显 ($P > 0.05$)；高剂量组 ROS 水平明显降低 ($P < 0.05$)，但低、中剂量组作用不明显 ($P > 0.05$)；各剂量组均能明显降低 Caspase-3 活性 ($P < 0.05$, $P < 0.01$)。见表 1。

3.3 葛根素对 CAT、SOD 活性和 MDA、GSH 含量的影响 与正常组比较，高糖组 MDA 含量明显增加，GSH 含量和 CAT、SOD 活性明显下降 ($P < 0.05$ 或 $P < 0.01$)。与高糖组比较，药物各剂

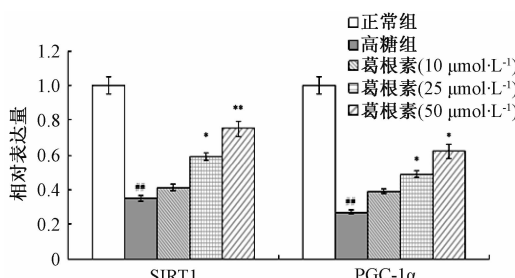
量组能明显降低 MDA 含量 ($P < 0.05$, $P < 0.01$)；中、高剂量组能明显增强 CAT 活性 ($P < 0.05$)，但低剂量组作用不明显 ($P > 0.05$)；各剂量组均能明显提高 SOD 活性 ($P < 0.05$, $P < 0.01$)；中、高剂量组能明显增加 GSH 含量 ($P < 0.01$)，但低剂量作用不明显 ($P > 0.05$)。见表 2。

3.4 葛根素对 SIRT1、PGC-1α mRNA 表达的影响 与正常组比较，高糖组 SIRT1、PGC-1α mRNA 表达显著下降 ($P < 0.01$)。与高糖组比较，药物中、高剂量组均显著上升 ($P < 0.05$, $P < 0.01$)，并呈剂量依赖效应，但低剂量组变化不明显 ($P > 0.05$)。见图 1。

表2 葛根素对CAT、SOD活性和MDA、GSH含有量的影响 ($\bar{x} \pm s$, n=3)Tab. 2 Effects of puerarin on CAT, SOD activities and MDA, GSH contents ($\bar{x} \pm s$, n=3)

组别	剂量/($\mu\text{mol}\cdot\text{L}^{-1}$)	CAT/(U $\cdot\text{mg prot}^{-1}$)	SOD/(U $\cdot\text{mg prot}^{-1}$)	MDA/(nmol $\cdot\text{mg prot}^{-1}$)	GSH/(mg $\cdot\text{g prot}^{-1}$)
正常组	-	14.21 \pm 1.56	33.32 \pm 3.01	0.31 \pm 0.02	3.84 \pm 0.42
高糖组	-	7.35 \pm 0.84 [#]	14.57 \pm 1.13 ^{##}	0.55 \pm 0.02 [#]	1.51 \pm 0.34 ^{##}
药物组	10	6.27 \pm 0.75	25.35 \pm 2.34 [*]	0.43 \pm 0.02 [*]	1.85 \pm 0.32
药物组	25	9.59 \pm 0.93 [*]	34.64 \pm 2.85 [*]	0.32 \pm 0.02 [*]	2.49 \pm 0.38 ^{**}
药物组	50	12.48 \pm 1.16 [*]	37.97 \pm 3.21 ^{**}	0.29 \pm 0.01 ^{**}	2.88 \pm 0.35 ^{**}

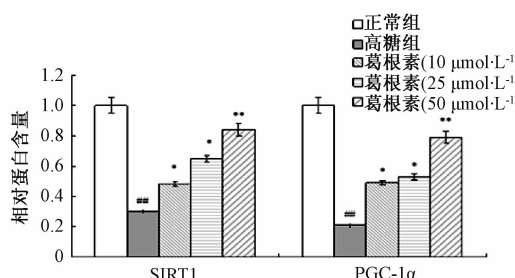
注:与高糖组比较, *P<0.05, **P<0.01;与正常组比较, #P<0.05, ##P<0.01



注:与高糖组比较, *P<0.05, **P<0.01;与正常组比较, #P<0.01

图1 葛根素对SIRT1、PGC-1 α mRNA表达的影响
Fig. 1 Effects of puerarin on mRNA expressions of SIRT1 and PGC-1 α

3.5 葛根素对SIRT1、PGC-1 α 蛋白含有量的影响 与正常组比较, 高糖组SIRT1、PGC-1 α 蛋白含有量显著降低(P<0.01); 药物各剂量组显著高于高糖组, 并呈剂量依赖效应(P<0.05, P<0.01)。见图2。



注:与高糖组比较, *P<0.05, **P<0.01;与正常组比较, #P<0.01

图2 葛根素对SIRT1、PGC-1 α 蛋白含有量的影响
Fig. 2 Effects of puerarin on protein contents of SIRT1 and PGC-1 α

4 讨论

高糖可导致血管内皮功能损伤, 进而诱发糖尿病血管病变^[9], 氧化应激是主要因素之一, 此时ROS产生增多或清除能力降低, 对糖尿病并发症的发展起到关键性作用。因此, 本实验建立高糖诱导的HUVEC-12细胞损伤模型, 用于探讨葛根素对

血管内皮细胞的保护作用。

乳酸脱氢酶(LDH)是一种稳定存在于细胞内的胞浆酶, 其外渗可作为细胞膜损伤的重要指标, 与细胞凋亡密切相关, 故细胞培养液中其水平可代表细胞损伤程度。本实验发现, 高糖组HUVEC-12细胞培养液中的LDH水平与正常组比较显著提高, 而经中、高浓度葛根素处理后明显降低, 表明该成分可减轻高糖诱导的HUVEC-12细胞损伤。作为凋亡的最终执行蛋白, Caspase-3被激活后可诱导细胞凋亡^[10], 本研究显示高糖诱导下其活性显著增强, 而经葛根素处理后有所下降, 表明该成分可降低Caspase-3活性来保护HUVEC-12细胞。

机体受到外界损伤条件刺激后, 会生成大量ROS, 从而造成细胞损伤, 其氧化细胞膜上脂类所产生的MDA已作为一种氧化应激的生物标记。SOD、CAT、GSH作为重要的抗氧化酶, 能通过清除ROS来保护细胞免受损伤。研究表明, SIRT1、PGC-1 α 可通过提高抗氧化酶CAT、SOD活性和GSH含有量来增加对ROS的清除作用^[11-13], 本实验发现高糖组细胞内ROS、MDA含有量明显增加, CAT、SOD活性与GSH含有量显著下降, 而经葛根素处理后恰好相反。

PGC-1 α 位于SIRT1的下游区, 后者不仅可提高前者的去乙酰化水平, 还能增强其基因和蛋白表达水平。在氧化应激反应中, SIRT1可调节PGC-1 α , 促进ROS清除, 增加抗氧化酶类活性, 从而发挥抗氧化作用^[14], Wareski等^[15]报道, 过表达的SIRT1可通过促进PGC-1 α 转录来增强线粒体密度, 从而提高神经细胞抗氧化应激能力。结果显示, 与高糖组比较, 葛根素干预后能显著提高SIRT1、PGC-1 α 基因表达量和蛋白含有量, 表明该成分能通过激活SIRT1/PGC-1 α 信号通路来保护HUVEC-12细胞的氧化损伤。

综上所述, 葛根素能提高高糖作用下HUVEC-

12 细胞活力,降低 ROS、LDH 水平,Caspase-3 活性和MDA 含有量,提高CAT、SOD 活性和GSH 含有量,同时还能增加 SIRT1、PGC-1 α 基因表达量和蛋白含有量,进而保护细胞。另外,葛根素还能激活 SIRT1/PGC-1 α 信号通路来保护血管内皮细胞,有望为防治糖尿病大血管合并症提供可行的方法。

参考文献:

- [1] Guariguata L, Whiting D R, Hambleton I, et al. Global estimates of diabetes prevalence for 2013 and projections for 2035 [J]. *Diabetes Res Clin Pract*, 2013, 103(2) : 137-149.
- [2] Strojek K. Features of macrovascular complications in type 2 diabetic patients[J]. *Acta Diabetol*, 2003, 40(2) : 334-337.
- [3] Susanti V Y, Sasaki T, Yokota-Hashimoto H, et al. Sirt1 rescues the obesity induced by insulin-resistant constitutively-nuclear FoxO1 in POMC neurons of male mice[J]. *Obesity (Silver Spring)*, 2014, 22(10) : 2115-2119.
- [4] Pantazi E, Zaouali M A, Bejaoui M, et al. Role of sirtuins in ischemia reperfusion injury[J]. *World J Gastroenterol*, 2013, 19(43) : 7594-7602.
- [5] Amat R, Planavila A, Chen S L, et al. SIRT1 controls the transcription of the peroxisome proliferator-activated receptor-gamma Co-activator-1alpha (PGC-1alpha) gene in skeletal muscle through the PGC-1alpha autoregulatory loop and interaction with MyoD [J]. *J Biol Chem*, 2009, 284 (33) : 21872-21880.
- [6] Zhou Y X, Zhang H, Peng C. Puerarin: a review of pharmacological effects[J]. *Phytother Res*, 2014, 28(7) : 961-975.
- [7] Yang Y, Chin A, Zhang L, et al. The role of traditional Chinese medicines in osteogenesis and angiogenesis[J]. *Phytother Res*, 2014, 28(1) : 1-8.
- [8] Xu X, Zheng N, Chen Z, et al. Puerarin, isolated from *Pueraria lobata* (Willd.), protects against diabetic nephropathy by attenuating oxidative stress [J]. *Gene*, 2016, 591 (2) : 411-416.
- [9] 柴伟栋,陈家伟,沈捷,等.葡萄糖、胰岛素和氧化低密度脂蛋白对内皮细胞内皮素-1生成及其 mRNA 水平的影响[J].中国微循环,2003,7(2) : 74-77.
- [10] Yeh J Y, Huang W J, Kan S F, et al. Effects of bufalin and eubufagin on the proliferation of androgen dependent and independent prostate cancer cells[J]. *Prostate*, 2003, 54 (2) : 112-124.
- [11] Ou X, Lee M R, Huang X, et al. SIRT1 positively regulates autophagy and mitochondria function in embryonic stem cells under oxidative stress[J]. *Stem Cells*, 2014, 32(5) : 1183-1194.
- [12] Antero S, Kai K, Anu K. Crosstalk between oxidative stress and SIRT1: Impact on the aging process[J]. *Int J Mol Sci*, 2013, 14(2) : 3834-3859.
- [13] 王会奇,脱厚珍.过氧化物酶体增殖物激活受体 γ 辅助活化因子-1 α 的研究进展[J].临床和实验医学杂志,2013,12 (19) : 1590-1592.
- [14] Anderson R M, Barger J L, Edwards M G, et al. Dynamic regulation of PGC-1alpha localization and turnover implicates mitochondrial adaptation in calorie restriction and the stress response[J]. *Aging Cell*, 2008, 7(1) : 101-111.
- [15] Wareski P, Vaarmann A, Choubey V, et al. PGC-1 α and PGC-1 β regulate mitochondrial density in neurons[J]. *J Biol Chem*, 2009, 284(32) : 21379-21385.